

**АНАЛИЗ ВЫХОДНОГО НАПРЯЖЕНИЯ  
МОДУЛЯЦИОННЫХ АВТОНОМНЫХ ИСТОЧНИКОВ  
СТАБИЛЬНОЙ ЧАСТОТЫ**

В. А. ДЕНИСОВ, Ш. С. РОЙЗ, Н. Ф. ЖМАЕВ

(Представлена научным семинаром кафедр электрических машин и аппаратов  
и общей электротехники)

В различных автономных электроэнергетических установках движущихся объектов для получения синусоидального напряжения заданной стабильной частоты при переменной скорости вращения первичного двигателя применяют различные источники, отличающиеся большим разнообразием как по принципу действия, так и по конструктивному исполнению.

Однако с развитием полупроводниковой техники все большее внимание уделяется машинно-вентильным системам, использующим принцип амплитудной модуляции переменной высокой частоты заданной низкой. Причем амплитудная модуляция осуществляется как полупроводниковым преобразователем, так и электромашинным генератором [1, 2].

В данной работе производится сравнительный гармонический анализ кривой выходного напряжения модуляционного машинно-вентильного автономного источника при различных законах амплитудной модуляции. В качестве машинно-вентильной системы используется система: однофазный синхронный генератор, возбуждаемый со стороны ротора — двухполупериодный тиристорный реверсивный выпрямитель.

Предположим, что амплитудная модуляция в синхронном генераторе выполняется по синусоидальному закону, тогда кривая напряжения на выходе выпрямителя примет вид, изображенный на рис. 1. На участке  $0 - \pi$  указанная кривая может быть выражена функцией

$$U = \begin{cases} (1-a+a \sin \theta) \sin k\theta & \text{для } 0 \leq \theta \leq \frac{\pi}{k} \\ (1-a+a \sin \theta) \sin k\left(\theta - \frac{\pi}{k}\right) & \text{для } \frac{\pi}{k} \leq \theta \leq \frac{2\pi}{k} \end{cases}$$

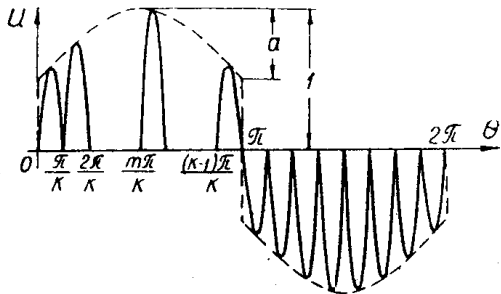


Рис. 1

$$U = \begin{cases} (1-a+a \sin \theta) \sin k \left( \theta - \frac{m \pi}{k} \right) & \text{для } \frac{m \pi}{k} \leq \theta \leq \frac{(m+1)\pi}{k} \\ (1-a+a \sin \theta) \sin k \left[ \theta - \frac{(k-1)\pi}{k} \right] & \text{для } \frac{\pi(k-1)}{k} \leq \theta \leq \pi \end{cases} \quad (1)$$

Здесь

$k = \frac{f_1}{f_2}$  — кратность отношения несущей и модулирующей частот;

$a$  — глубина амплитудной модуляции;

$2\pi$  — период модулирующей частоты;

$m$  — текущий номер полусинусоид несущей частоты.

Разложение функции в ряд Фурье будет содержать только нечетные синусные члены

$$U = \sum_{n=1}^{\infty} b_{n(m)} \sin n \theta, \quad (2)$$

где  $n$  — номер нечетной ( $n=1, 3, 5, 7, 9, \dots$ ) гармоники в выходном напряжении,

$$b_{n(m)} = \sum_{m=0}^{k-1} \frac{2}{\pi} \int_{\frac{m\pi}{k}}^{\frac{(m+1)\pi}{k}} [(1-a+a \sin \theta) \sin k \left( \theta - \frac{m \pi}{k} \right)] \sin n \theta d\theta$$

— амплитуда  $n$ -й гармоники синусного ряда.

После некоторых преобразований и при выполнении условий  $k \neq n$ ,  $k+1 \neq n$  и  $k-1 \neq n$ , получаем

$$\begin{aligned} b_{n(m)} = & \frac{1}{\pi} \sum_{m=0}^{k-1} (1-a) \left\{ -\frac{1}{k-n} \left[ \sin \frac{\pi}{k} (-nm) - \sin \frac{\pi}{k} (k-n-nm) \right] + \right. \\ & + \frac{1}{k+n} \left[ \sin \frac{\pi}{k} (nm) - \sin \frac{\pi}{k} (k+n+nm) \right] \left. \right\} + \\ & + \frac{a}{2} \left\{ \frac{1}{k+1-n} \left[ \cos \frac{\pi}{k} (m-nm) - \cos \frac{\pi}{k} (k+1-n+m-nm) \right] \right\} + \\ & + \frac{1}{k-1+n} \left[ \cos \frac{\pi}{k} (-m+nm) - \cos \frac{\pi}{k} (k-1+n-m+nm) \right] - \\ & - \frac{1}{k+1+n} \left[ \cos \frac{\pi}{k} (m+nm) - \cos \frac{\pi}{k} (k+1+n+m+nm) \right] - \\ & \left. - \frac{1}{k-1-n} \left[ \cos \frac{\pi}{k} (-m-nm) - \cos \frac{\pi}{k} (k-1-n-m-nm) \right] \right\}. \quad (3) \end{aligned}$$

При условии  $k=n$ ,  $k+1=n$  и  $k-1=n$  вычисление коэффициентов ведется по формуле

$$b_{n(m)} = \frac{1}{\pi} \sum_{m=0}^{k-1} (1-a) \left\{ \cos m \pi + \frac{1}{k+n} \left[ \sin \frac{\pi}{k} (nm) - \sin \frac{\pi}{k} (k+n+nm) \right] \right\} +$$

$$+ \frac{a}{2} \left\{ \frac{1}{k-1+n} \left[ \cos \frac{\pi}{k} (-m-nm) - \cos \frac{\pi}{k} (k-1+n-m+nm) \right] - \right. \\ \left. - \frac{1}{k+1+n} \left[ \cos \frac{\pi}{k} (m+nm) - \cos \frac{\pi}{k} (k+1+n+m+nm) \right] \right\}. \quad (4)$$

На рис. 2. даны значения коэффициентов ряда (2) в функции кратности отношения частот для двух случаев глубины амплитудной модуляции ( $a=0$  и  $a=0,4$ ), а на рис. 3 (сплошные линии) даны значения коэффициентов в функции глубины амплитудной модуляции для кратности частот, равной 8. Расчет коэффициентов выполнен на ЭЦВМ по формулам (3) и (4). Для сравнения на рис. 3 (пунктирные линии) приведены значения коэффициентов гармонического анализа только модулирующей (огибающей) кривой без учета несущей частоты. Построение выполнено по формуле (5)

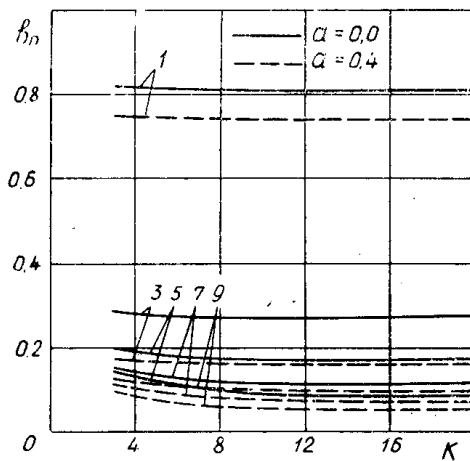


Рис. 2

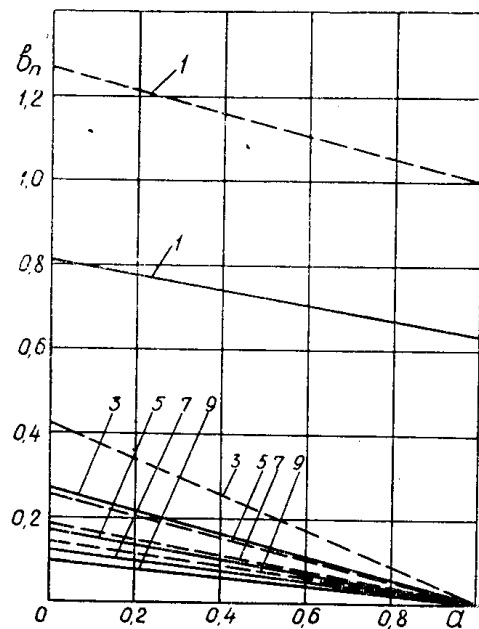


Рис. 3

$$b_n = \frac{2}{\pi} \int_0^\pi (1-a+a \sin \theta) \sin n \theta d \theta, \\ \begin{cases} (1-a) \frac{4}{n\pi} + a & \text{для } n=1 \\ (1-a) \frac{4}{n\pi} & \text{для } n \neq 1. \end{cases} \quad (5)$$

Как видно из графиков рис. 2 и 3, значение каждого коэффициента гармонического ряда (2) с увеличением кратности частот выше  $7 \div 10$  практически не изменяется и связано с соответствующим коэффициентом уравнения (5) постоянной величиной. Последняя зависит от схемы выпрямления несущей частоты и в данном случае может быть принята равной  $\frac{2}{\pi}$ .

На основании изложенного дальнейший анализ амплитудно-модулированных кусочно-гладких функций можно свести к анализу только модулирующих функций, для чего необходимо выбрать кратность отношения частот не ниже  $7 \div 10$  и в полученную формулу определения коэффициентов ряда Фурье ввести поправочный коэффициент выпрямления схемы.

На рис. 4 (а, б) изображены огибающие кривые выходного напряжения автономного источника при наиболее просто реализуемых законах амплитудной модуляции и соответствующие им графики гармони-

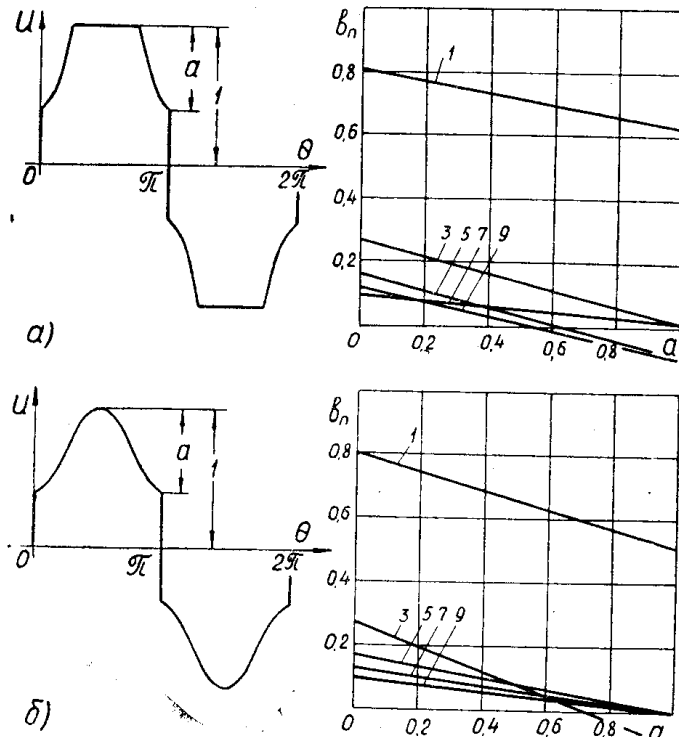


Рис. 4

ческого состава. Указанные кривые и графики построены согласно уравнениям (6, 7, 8, 9):  
рис. 4, а

$$\left. \begin{array}{l} U = 1 - a \cos 2\theta \quad \text{для } 0 \leq \theta \leq \frac{\pi}{4} \\ U = 1 \quad \quad \quad \text{для } \frac{\pi}{4} \leq \theta \leq \frac{\pi}{2} \end{array} \right\}, \quad (6)$$

$$b_n = \frac{8}{\pi^2 n} + \frac{8a}{\pi^2} \left[ \frac{\cos(n+2)45^\circ}{2(n+2)} + \frac{\cos(n-2)45^\circ}{2(n-2)} - \frac{n}{n^2-4} \right]; \quad (7)$$

рис. 4, б

$$U = 1 - \frac{a}{2} - \frac{a}{2} \cos 2\theta \quad \text{для } 0 \leq \theta \leq \pi, \quad (8)$$

$$b_n = \frac{4}{\pi^2} \left( \frac{2-a}{n} - \frac{an}{n^2-4} \right). \quad (9)$$

Из рассмотренных законов амплитудной модуляции более предпочтительным является закон рис. 4б, так как в этом случае лучший гармонический состав достигается при меньшей глубине модуляции, что соответствует лучшим энергетическим соотношениям.

## Выводы

1. В модуляционных автономных источниках кратность отношения несущей и модулирующей частот должна быть не ниже  $7 \div 10$ , так как при меньшей кратности наблюдается ухудшение гармонического состава выходного напряжения.

2. Анализ кривой выходного напряжения автономного источника можно вести по модулирующей функции при условии, что кратность отношения частот более  $7 \div 10$  и в формулу расчета коэффициентов гармоник введен коэффициент выпрямления схемы.

3. Наиболее рациональным законом амплитудной модуляции в синхронном генераторе следует считать закон, полученный в результате наложения на постоянный поток возбуждения синусоидального потока, изменяющегося с двойной частотой.

## ЛИТЕРАТУРА

1. М. П. Попов, И. И. Лукин. К вопросу получения переменного тока постоянной частоты при изменяющейся скорости вращения привода генератора. Известия вузов, «Энергетика», № 1, 1970.
  2. Э. В. Глатко. Исследование модуляционного метода формирования синусоидального напряжения судовой валогенераторной установки. Автореферат диссертации, Л., 1972.
  3. Г. С. Зиновьев. Выходное напряжение вентильных преобразователей частоты с непосредственной связью. Изв. СО АН СССР, № 10 вып. 3, 1965.
-